

*Публикация выполнена в рамках государственной работы «Проведение научно-исследовательских работ (фундаментальных научных исследований, прикладных научных исследований и экспериментальных разработок)» базовой части государственного задания Минобрнауки России, код проекта 2548.*

*Список литературы:*

1. Дубровин В.И., Твердохлеб Ю.В. Усовершенствование методов анализа ЭКГ-сигналов на основе вейвлет-преобразования в системе электрокардиографии высокого разрешения // Нейроинформатика и интеллектуальные системы. 2011. № 1. С. 91-98.
2. Колоцкий А.К., Иванов Г.Г., Дворников В.Е. и др. Исследование вариабельности сердечного ритма при анализе аритмий // Вестник РУДН, серия «Медицина». 2001. № 2. С. 113-130.
3. Joseph E.M. HRV in Sleep Apnea Detection and Sleep Stability Assessment / <https://www.physionet.org/events/hrv-2006/mietus-2.pdf>.
4. Росторожская В.В. Артериальная гипертензия и синдром обструктивного апноэ сна: резистентность к лечению и роль дисфункции вегетативной нервной системы // Кардиоваскулярная терапия и профилактика. 2012. № 5. С. 11-17.

5. Anisimov A., Pustozerov E., Yuldashev Z. Intelligent remote health monitoring system for patients with chronic diseases / Transactions of XII Russian-German Conference on Biomedical Engineering. Suzdal, 4-7 July 2016.

Юлдашев Зафар Мухамедович,

д-р техн. наук, профессор,

Елена Владимировна Садыкова,

канд. техн. наук, доцент,

Чан Чонг Хыу,

аспирант,

кафедра биотехнических систем,

Санкт-Петербургский государственный

электротехнический университет «ЛЭТИ»

им. В.И. Ульянова (Ленина),

г. С.-Петербург,

e-mail: yuld@mail.ru

**С.А. Терещенко, П.В. Шалаев, Ю.П. Маслобоев, С.А. Долгушин, В.А. Дешабо, И.К. Юдин**

## **Электрокинетический потенциал наностержней и клеток в жидких дисперсиях**

### **Аннотация**

На основе представления наностержней и клеток в виде эллипсоидов вращения получены аналитические выражения для их электрокинетического потенциала. Показано, что электрокинетический потенциал наностержней и клеток определяется универсальной функцией, зависящей только от аспектного отношения. Рассчитаны зависимости электрокинетического потенциала наностержней от подвижности и аспектного отношения.

### **Введение**

В настоящее время жидкие дисперсииnano- и микроразмерных частиц широко используются в самых различных областях [1]. Среди множества наночастиц, полученных на сегодняшний день, большой интерес вызывают несферические наночастицы, особенно наностержни [2]. При этом наибольшие трудности вызывает описание геометрической формы наностержней. Основным способом такого описания является их представление в виде эллипсоидов вращения и цилиндров.

Степень и характер взаимодействия частиц между собой и с жидкостью определяет электрокинетический потенциал (дзета-потенциал). Например, одним из главных параметров жидких дисперсий наночастиц является их коллоидная стабильность. Так как на границе раздела твердой и жидкой фаз меняются электрокинетические показатели, фазы становятся противоположно заряженными. При этом стимулируется адсорбция ионов на поверхности частиц, что может привести к их агрегации [3]. Величина электрокинетического потенциала характеризует стабильность коллоидных дисперсий. Коллоиды с высоким электрокинетическим потенциалом электрически стабилизированы, в то время как коллоиды с низким электрокинетическим потенциалом склонны к коагуляции за счет электрокинетического взаимодействия между частицами [4].

Электрокинетический потенциал влияет и на процесс распределения nano- и микроносителей лекарственных средств в организме [3]. Положительно заряженные частицы эффективно усваиваются клетками в результате электростатических взаимодействий с отрицательно заряженными компонентами клеточной мембранны. При одинаковых размерах и форме положительно заряженные наночастицы усваиваются в подавляющем большинстве клеток, в отличие от отрицательно

заряженных [5]. Однако отрицательно заряженные частицы также могут проникать в клетки [6], что может быть использовано для доставки нуклеиновых кислот в цитоплазму и внутриклеточной регуляции экспрессии генов [7]. По изменению электрокинетического потенциала микрочастиц можно судить об адсорбции на их поверхности белков плазмы крови [8].

Электрокинетический потенциал также характеризует физико-химические свойства клеточной оболочки [9]. В клеточной биологии измерение электрокинетического потенциала различных клеток позволяет исследовать свойства мембран, изменения их биохимического состава и взаимодействия с мембранотропными материалами [10]. Существует возможность выявления на поверхности клеток ранних маркеров апоптоза и снижения жизнеспособности клеток по увеличению их суммарного отрицательного заряда [11].

Для измерения электрокинетического потенциала используется метод электрофоретического рассеяния света. Однако в существующих приборах получение информации о величине электрокинетического потенциала суспензии наночастиц основано на предположении о сферической форме частиц. В настоящей статье рассмотрено влияние несферичности наночастиц на значение электрокинетического потенциала на примере частиц в виде эллипсоидов вращения.

### **Материалы и методы**

Электрокинетический потенциал  $\zeta$  частицы произвольной формы, движущейся со скоростью  $v$  в электрическом поле с напряженностью  $E$ , определяется следующим выражением:

$$\zeta = \frac{kT}{DC} \frac{v}{E}, \quad (1)$$

где  $k$  – постоянная Больцмана;  $T$  – абсолютная температура;  $D$  – коэффициент диффузии;  $C$  – электрическая емкость частицы. При этом необходимо знать емкость и коэффициент диффузии для частиц разной формы.

Известны выражения для электрической емкости для частиц различной формы [12], [13], однако для частиц, имеющих негладкую форму, формулы для емкости являются приближенными из-за сложности учета неравномерности поверхности плотности заряда вблизи мест резкого изгиба поверхности проводника. Некоторые формулы для емкости приведены в табл. 1 [12], [13].

Таблица 1

**Формулы для электрической емкости частиц разной формы**

№ п/п	Форма частиц	Электрическая емкость $C$
1	Шар радиуса $R$	$C_s = 4\pi\epsilon R$
2	Цилиндр радиуса $R$ и длины $H$	$C_c = \frac{2\pi\epsilon H}{\ln\left(\frac{H}{R} + \sqrt{\left(\frac{H}{R}\right)^2 + 1}\right) + \frac{R}{H} - \sqrt{\left(\frac{R}{H}\right)^2 + 1}}$
3	Вытянутый эллипсоид вращения с главными полуосами $a > b = c$	$C_{pe} = 4\pi\epsilon \frac{\sqrt{a^2 - b^2}}{\ln\left[\frac{a}{b} + \sqrt{\left(\frac{a}{b}\right)^2 - 1}\right]}$
4	Сплюснутый эллипсоид вращения с главными полуосами $a = b > c$	$C_{oe} = 4\pi\epsilon \frac{\sqrt{a^2 - c^2}}{\arccos\left(\frac{c}{a}\right)}$

Примечание:  $\epsilon = \epsilon_r \epsilon_0$  – диэлектрическая проницаемость среды;  $\epsilon_r$  – относительная диэлектрическая проницаемость;  $\epsilon_0$  – электрическая постоянная.

Коэффициент диффузии для несферических частиц в общем случае является тензором. Поступательная диффузия несферической частицы в жидкости зависит от ее ориентации по отношению к направлению движения. Например, при движении вытянутого эллипсоида вращения вдоль и поперек оси симметрии коэффициенты диффузии различны. Кроме того, существует еще и вращательное движение, количественной мерой которого служит коэффициент вращательной диффузии. Следует отметить, что вращательная диффузия обычно мала, и ею, как правило, пренебрегают. Известны выражения для коэффициентов поступательной диффузии [14], [15] для частиц различной формы. Так же как и для емкости, выражения для коэффициентов диффузии частиц, имеющих негладкую форму, являются приближенными.

Некоторые известные формулы для коэффициентов диффузии приведены в табл. 2 [14], [15].

Для сферических частиц по формуле (1) получим следующее известное выражение:

$$\zeta_s = \frac{kT}{D_s C_s} \frac{v}{E} = \frac{v}{E} \frac{\eta}{\epsilon} \frac{3}{2}. \quad (2)$$

В существующих приборах при измерении электрохимического потенциала наночастиц используется именно формула (2) [16].

Рассмотрим частицы, имеющие форму наностержней. Есть основания считать, что при движении таких частиц под действием электрического поля они ориентируются вдоль наибольшего размера [17]. Таким образом, для цилиндров и вытянутых эллипсоидов с большим аспектным отношением движение будет происходить вдоль оси цилиндра и вдоль максимальной оси эллипсоида соответственно, а для дисков и сплюснутых

эллипсоидов с малым аспектным отношением движение будет происходить вдоль оснований диска и перпендикулярно наименьшей оси эллипсоида соответственно. Поскольку выражения для емкости и коэффициентов диффузии в случае цилиндров являются приближенными, будем считать, что наностержни описываются эллипсоидами вращения.

Для эллипсоидов вращения величины  $\chi_0, \alpha_0, \beta_0, \gamma_0$  из табл. 2 можно записать в более простом виде:

- для вытянутых эллипсоидов вращения с главными полуосами  $a > b = c$

$$\chi_0 = abI_0\left(\frac{a}{b}\right); \quad \alpha_0 = \frac{a}{b}I_1\left(\frac{a}{b}\right); \quad \beta_0 = \frac{a}{b}I_2\left(\frac{a}{b}\right);$$

- для сплюснутых эллипсоидов вращения с главными полуосами  $a = b > c$

$$\chi_0 = acI_0\left(\frac{c}{a}\right); \quad \alpha_0 = \frac{c}{a}I_1\left(\frac{c}{a}\right); \quad \gamma_0 = \frac{c}{a}I_1\left(\frac{c}{a}\right),$$

где

$$I_0(p) = \int_0^\infty \frac{d\lambda}{(1+\lambda)\sqrt{(p^2 + \lambda)}},$$

$$I_1(p) = \int_0^\infty \frac{d\lambda}{(1+\lambda)(p^2 + \lambda)^{3/2}},$$

$$I_2(p) = \int_0^\infty \frac{d\lambda}{(1+\lambda)^2 \sqrt{p^2 + \lambda}}.$$

Интегралы  $I_0(p)$ ,  $I_1(p)$ ,  $I_2(p)$  можно найти в явном виде. Тогда для коэффициентов диффузии эллипсоидов вращения получим следующие выражения:

$$D_{pe}^a = \frac{kT}{16\pi\eta b} \left[ -\frac{2p}{p^2 - 1} - \frac{1}{\sqrt{p^2 - 1}} \left( \frac{p^2}{p^2 - 1} + 1 \right) \ln \frac{p - \sqrt{p^2 - 1}}{p + \sqrt{p^2 - 1}} \right];$$

$$D_{pe}^b = \frac{kT}{16\pi\eta b} \frac{1}{1-p^2} \left( -p - \frac{2-p^2}{\sqrt{p^2 - 1}} \ln \frac{p - \sqrt{p^2 - 1}}{p + \sqrt{p^2 - 1}} \right);$$

$$D_{oe}^a = \frac{kT}{16\pi\eta a} \frac{1}{\sqrt{1-p^2}} \left[ -\frac{p}{\sqrt{1-p^2}} + \left( 2 + \frac{1}{1-p^2} \right) \left( \frac{\pi}{2} - \operatorname{arctg} \frac{p}{\sqrt{1-p^2}} \right) \right];$$

$$D_{oe}^c = \frac{kT}{16\pi\eta a} \frac{2}{\sqrt{1-p^2}} \left[ \frac{p}{\sqrt{1-p^2}} + \left( 1 - \frac{p^2}{1-p^2} \right) \left( \frac{\pi}{2} - \operatorname{arctg} \frac{p}{\sqrt{1-p^2}} \right) \right].$$

Окончательные выражения для электрохимического потенциала приведены в табл. 3.

Таким образом, если наностержни описывать формулами для эллипсоидов вращения, то их электрохимический потенциал  $\zeta_{nr}$  будет равен

$$\zeta_{nr} = \begin{cases} \frac{v}{E} \frac{\eta}{\epsilon} \frac{4 \ln(p + \sqrt{p^2 - 1})}{-\frac{2p}{\sqrt{p^2 - 1}} - \left( 1 + \frac{p^2}{p^2 - 1} \right) \ln \frac{p - \sqrt{p^2 - 1}}{p + \sqrt{p^2 - 1}}}, & 0 < p < 1; \\ \frac{v}{E} \frac{\eta}{\epsilon} \frac{3}{2}, & p = 1; \\ \frac{v}{E} \frac{\eta}{\epsilon} \frac{4 \arccos(p)}{\left( \frac{1}{1-p^2} + 2 \right) \left( \frac{\pi}{2} - \operatorname{arctg} \frac{p}{\sqrt{1-p^2}} \right) - \frac{p}{\sqrt{1-p^2}}}, & p > 1. \end{cases} \quad (3)$$

При этом было учтено, что при переходе от  $p < 1$  к  $p > 1$  происходит изменение ориентации эллипсоида относительно направления движения вдоль электрического поля.

Таблица 2

## Формулы для коэффициентов диффузии частиц разной формы

№ п/п	Форма частиц	Коэффициент диффузии $D$
1	Шар радиуса $R$	$D_s = \frac{kT}{6\pi\eta R}$
2	Цилиндр радиуса $R$ и длины $H$ с аспектным отношением $p = H / (2R)$	$D_c^{\parallel} = \frac{kT}{2\pi\eta H} \left[ \ln(p) - 0,207 + \frac{0,98}{p} - \frac{0,133}{p^2} \right];$ $D_c^{\perp} = \frac{kT}{4\pi\eta H} \left[ \ln(p) + 0,839 + \frac{0,185}{p} + \frac{0,233}{p^2} \right]$
3	Диск радиуса $R$ и толщины $H$ с аспектным отношением $p = H / (2R)$ , $H \ll R$	$D_d^{\parallel} = \frac{kT}{16\eta R}; \quad D_d^{\perp} = \frac{3kT}{32\eta R}$
4	Вытянутый эллипсоид вращения с главными полуосами $a > b = c$ , с аспектным отношением $p = a / b > 1$	$D_{pe}^a = \frac{kT(\chi_0 + \alpha_0 a^2)}{16\pi\eta ab^2}; \quad D_{oe}^b = \frac{kT(\chi_0 + \beta_0 b^2)}{16\pi\eta ab^2}$
5	Спллюснутый эллипсоид вращения с главными полуосами $a = b > c$ , с аспектным отношением $p = c / a < 1$	$D_{pe}^a = \frac{kT(\chi_0 + \alpha_0 a^2)}{16\pi\eta a^2 c}; \quad D_{oe}^c = \frac{kT(\chi_0 + \gamma_0 c^2)}{16\pi\eta a^2 c}$

Примечания:

1) коэффициенты диффузии соответствуют:  $D^{\parallel}$  – движению вдоль оси цилиндра (диска);  $D^{\perp}$  – движению вдоль оси, перпендикулярной оси цилиндра (диска);  $D^a$ ,  $D^b$ ,  $D^c$  – движению вдоль осей  $a$ ,  $b$ ,  $c$  эллипсоида соответственно;2)  $T$  – абсолютная температура;  $k$  – постоянная Больцмана;  $\eta$  – вязкость среды;

3) в соответствии с [14]:

$$\begin{aligned} \chi_0 &= \int_0^{\infty} \frac{abc}{\sqrt{(a^2 + \lambda)(b^2 + \lambda)(c^2 + \lambda)}} d\lambda; \quad \alpha_0 = \int_0^{\infty} \frac{abc}{(a^2 + \lambda)\sqrt{(a^2 + \lambda)(b^2 + \lambda)(c^2 + \lambda)}} d\lambda; \\ \beta_0 &= \int_0^{\infty} \frac{abc}{(b^2 + \lambda)\sqrt{(a^2 + \lambda)(b^2 + \lambda)(c^2 + \lambda)}} d\lambda; \quad \gamma_0 = \int_0^{\infty} \frac{abc}{(c^2 + \lambda)\sqrt{(a^2 + \lambda)(b^2 + \lambda)(c^2 + \lambda)}} d\lambda. \end{aligned}$$

Таблица 3

## Электрокинетический потенциал наночастиц разной формы

№ п/п	Форма частиц	Электрокинетический потенциал $\zeta$
1	Шар	$\zeta_s = \frac{v}{E} \frac{\eta}{\epsilon} \frac{3}{2}$
2	Цилиндр радиуса $R$ и длины $H$ с аспектным отношением $p = H / (2R)$	$\zeta_c = \frac{v}{E} \frac{\eta}{\epsilon} \frac{\ln(2p + \sqrt{4p^2 + 1}) + \frac{1}{2p} - \sqrt{\frac{1}{4p^2} + 1}}{\ln(p) - 0,207 + \frac{0,98}{p} - \frac{0,133}{p^2}}$
3	Диск радиуса $R$ и толщины $H$ с аспектным отношением $p = H / (2R)$ , $H \ll R$	$\zeta_d = \frac{v}{E} \frac{\eta}{\epsilon} \frac{16R}{\pi H} \left[ \ln(2p + \sqrt{4p^2 + 1}) + \frac{1}{2p} - \sqrt{\frac{1}{4p^2} + 1} \right]$
4	Вытянутый эллипсоид вращения с главными полуосами $a > b = c$ с аспектным отношением $p = a / b > 1$	$\zeta_{pe} = \frac{v}{E} \frac{\eta}{\epsilon} \frac{4 \ln(p + \sqrt{p^2 - 1})}{-\frac{2p}{\sqrt{p^2 - 1}} - \left(1 + \frac{p^2}{p^2 - 1}\right) \ln \frac{p - \sqrt{p^2 - 1}}{p + \sqrt{p^2 - 1}}}$
5	Спллюснутый эллипсоид вращения с главными полуосами $a = b > c$ с аспектным отношением $p = c / a < 1$	$\zeta_{oe} = \frac{v}{E} \frac{\eta}{\epsilon} \frac{4 \arccos(p)}{\left(\frac{1}{1-p^2} + 2\right) \left(\frac{\pi}{2} - \operatorname{arctg} \frac{p}{\sqrt{1-p^2}}\right) - \frac{p}{\sqrt{1-p^2}}}$

## Результаты

По формуле (3) можно рассчитать значения электрокинетического потенциала наностержней с различным аспектным отношением.

На рис. 1 представлены зависимости электрокинетического потенциала  $\zeta$  от подвижности  $v / E$  для наностержней с различным аспектным отношением, а на рис. 2 – зависимость от аспектного отношения  $p$  функции

$$f(p) = \zeta_{nr} \frac{\varepsilon E}{\eta v}$$

Как видно из рис. 1, электрокинетический потенциал наностержней, рассчитанный с использованием формулы (3), отличается от электрокинетического потенциала сферических наночастиц и зависит от аспектного отношения. Использование для расчета электрокинетического потенциала несферических наночастиц формулы (2), как это делается в существующих приборах, может приводить к ошибочным суждениям о степени и характере взаимодействия частиц между собой и с жидкой средой.

Зависимость, показанная на рис. 2, является достаточно универсальной, зависит только от аспектного отношения и может быть полезна при анализе свойств жидких дисперсий смесей наностержней с различным аспектным отношением.

## Заключение

Электрокинетический потенциал наночастиц зависит от емкости и коэффициента диффузии. Для частиц, имеющих форму, отличную от сферической, электрокинетический потенциал отличается от значения, рассчитанного по формуле (2), что необходимо учитывать при измерении электрокинетического потенциала жидких дисперсий с помощью существующих приборов.

Приведены аналитические выражения для емкости и коэффициентов диффузии частиц, имеющих форму цилиндров и эллипсоидов вращения. Получены аналитические выражения для электрокинетического потенциала наностержней, описываемых формулами для эллипсоидов вращения. Рассчитаны зависимости электрокинетического потенциала наностержней от подвижности при разных аспектных отношениях. Рассчитана универсальная зависимость величины

$$f(p) = \zeta_{nr} \frac{\varepsilon E}{\eta v}$$

от аспектного отношения наностержней.

Полученные результаты могут быть использованы при исследовании коллоидных систем несферических наночастиц, измерениях свойств клеток в цитологии, а также при разработке новых измерительных приборов для биологических применений.

*Работа выполнена при финансовой поддержке Министерства образования и науки Российской Федерации (соглашение № 14.575.21.0090, идентификатор RFMEFI57514X0090).*

### Список литературы:

1. Nanoparticles in Biology and Medicine / Ed. Soloviev M. – Springer Protocols. 2012. Vol. 906.
2. Khlebtsov B.N. et al. Overgrowth of gold nanorods by using a binary surfactant mixture // Langmuir. 2014. Vol. 30. № 6. PP. 1696-1703.
3. Shershneva A.M. et al. Study of Electrokinetic Potential of Drug Micro-Carriers Prepared from Resorbable Polymers Bioplastotan // Biophysics. 2014. Vol. 59. № 4. PP. 561-567.
4. Maia J.L., Santana M.H.A., Ré M.I. The effect of some processing conditions on the characteristics of biodegradable microspheres obtained by an emulsion solvent evaporation process // Brazilian Journal of Chemical Engineering. 2004. Vol. 21. № 1. PP. 1-12.

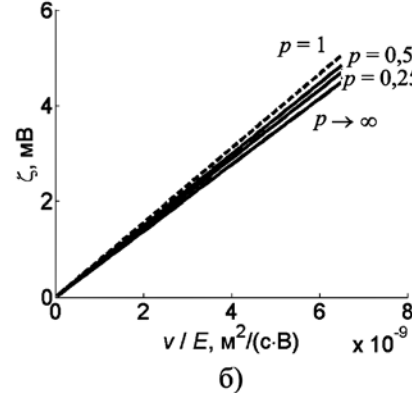
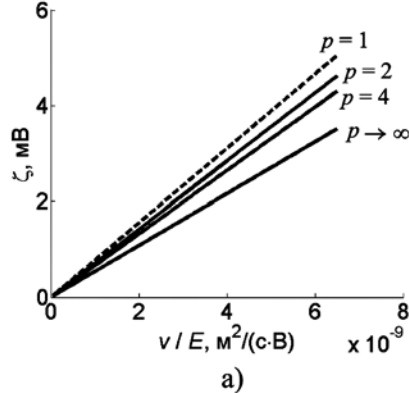


Рис. 1. Зависимость электрокинетического потенциала  $\zeta_{nr}$  наностержней от подвижности частиц  $v / E$  для аспектных отношений  $p > 1$  (а) и  $p < 1$  (б);  $p = 1$  соответствует сферам (пунктирная линия)

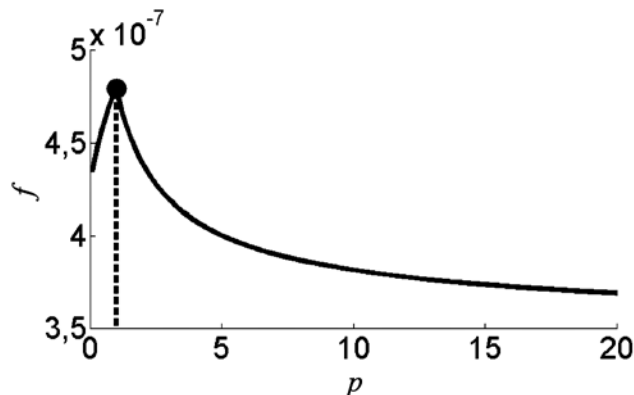


Рис. 2. Зависимость  $f(p) = \zeta_{nr} \varepsilon E / \eta v$  от аспектного отношения  $p$  для наностержней; для сфер  $p = 1$

5. Gratton S.E.A. et al. The effect of particle design on cellular internalization pathways // Proceedings of the National Academy of Sciences. 2008. Vol. 105. № 33. PP. 11613-11618.
6. Wang J. et al. More Effective Nanomedicines through Particle Design // Small. 2011. Vol. 7. № 14. PP. 1919-1931.
7. Rosi N.L. et al. Oligonucleotide-Modified Gold Nanoparticles for Intracellular Gene Regulation // Science. 2006. Vol. 312. № 5776. PP. 1027-1030.
8. Werner C. et al. Electrokinetic surface characterization of biomedical polymers – A survey // Colloids and Surfaces A Physicochemical and Engineering Aspects. 1999. Vol. 159. № 2. PP. 519-529.
9. Cieśla J. et al. Determination of the electrokinetic potential of Rhizobium leguminosarum bv trifolii Rt24.2 using Laser Doppler Velocimetry – A methodological study // Journal of Microbiological Methods. 2011. Vol. 85. PP. 199-205.
10. Kuo Y., Lin T. Electrophoretic Mobility, Zeta Potential, and Fixed Charge Density of Bovine Knee Chondrocytes, Methyl Methacrylate-Sulfopropyl Methacrylate, Polybutylcyanoacrylate, and Solid Lipid Nanoparticles // The Journal of Physical Chemistry B. 2006. Vol. 110. № 5. PP. 80-83.
11. Bondar O.V. et al. Monitoring of the zeta potential of human cells upon reduction in their viability and interaction with polymers // Acta Naturae. 2012. Vol. 4. № 1. PP. 78-81.
12. Говорков В.А. Электрические и магнитные поля. – М.: Энергия, 2004.
13. Ландау Л.Д., Лифшиц Е.М. Теоретическая физика. Т. 8: Электродинамика сплошных сред. – М.: Наука, 1982.
14. Ламб Г. Гидродинамика. – М.: ОГИЗ, 1947.
15. Tirado M.M., Martinez C.L., Garcia de la Torre J. Comparison of theories for the translational and rotational diffusion coefficients of rodlike macromolecules. Application to short DNA fragments // The Journal of Chemical Physics. 1984. Vol. 81. PP. 2047-2052.
16. Hunter R.J., Ottewill R.H., Rowell R.L. Zeta Potential in Colloid Science. – Elsevier, 1981.
17. Цветков В.Н., Эскин В.Е., Френкель С.Я. Структура макромолекул в растворах. – М.: Наука, 1964.

Сергей Андреевич Терещенко,  
д-р физ.-мат. наук, профессор,  
Павел Владимирович Шалаев,  
магистр,  
Юрий Петрович Маслобоев,  
канд. физ.-мат. наук, доцент,  
Сергей Анатолиевич Долгушин,  
канд. физ.-мат. наук, ст. научный сотрудник,  
кафедра биомедицинских систем,  
Национальный исследовательский университет «МИЭТ»,  
г. Москва, г. Зеленоград,  
Виктор Альфредович Дешабо,  
ст. научный сотрудник,  
Игорь Кронидович Юдин,  
канд. техн. наук, ведущий научный сотрудник,  
лаборатория фазовых переходов  
и критических явлений,  
Институт проблем нефти и газа РАН,  
г. Москва,  
e-mail: tsa@miee.ru

**А.А. Десова, А.А. Дорофеюк, А.М. Анохин**

## **Выявление артериальной гипертензии в детском и подростковом возрасте на основе анализа пульсового сигнала лучевой артерии**

### **Аннотация**

Рассмотрена процедура выявления ранней стадии артериальной гипертензии в детском и подростковом возрасте на основе анализа характеристик пульсового сигнала лучевой артерии. Приведены результаты типологического анализа формы базового периода сигнала, а также его ритмической структуры. На основе алгоритмов распознавания образов оценена степень информативности признаков, определяемых параметрами колебательных компонент сигнала. Сформировано решающее правило для выявления артериальной гипертензии у пациентов в детском и подростковом возрасте, приведены вероятностные оценки его эффективности.

### **Введение**

Известно, что решение проблемы диагностики артериальной гипертензии на ранних стадиях ее проявления сопряжено со значительными трудностями в силу отсутствия информативных диагностических неинвазивных тестов. Широкое распространение гипертонической болезни ставит проблему ее ранней диагностики и профилактики на одно из первых мест в области здравоохранения. Многочисленными исследованиями доказано, что истоки гипертонической болезни взрослых находятся в детском и подростковом возрасте [1], [2]. Именно в этом возрасте должна проводиться активная профилактика не только ранних стадий повышения артериального давления, но и предрасположенности к его повышению. Сложность выявления ранних форм артериальной гипертензии определяется тем, что в начальной стадии заболевания повышение давления регистрируется не всегда. В то же время отсутствуют доступные практическому здравоохранению диагностические неинвазивные тесты, обеспечивающие выявление ранних стадий

заболевания. Именно поэтому задача совершенствования методов диагностики, обеспечивающих возможность проведения широкой профилактики первичной артериальной гипертензии у детей и подростков, является весьма актуальной.

Известно, что в сигнале периферического пульса, в частности лучевой артерии, находят свое отражение как процессы высших уровней регуляции, так и многие гемодинамические характеристики сердечно-сосудистой системы [3]. Ценность пульсового анализа заключается в том, что функциональные дисбалансы определяются раньше момента их проявления на уровне клеточных изменений. Это дает большие преимущества в диагностике и профилактике болезней сердечно-сосудистой системы задолго до их проявления на морфологическом уровне.

Проведенные ранее исследования авторов [4], [5] по оценке диагностической значимости характеристик пульсового сигнала лучевой артерии позволили сформулировать основные подходы к анализу этих сигналов применительно, в частности, к выявлению артериальной гипертензии в детском и под-